

ОПРЕДЕЛЕНИЕ НА ОПТИМАЛНИЯ МАГНИТЕН ПОТОК В АСИНХРОННИ СКАЛАРНО УПРАВЛЯВАНИИ ЕЛЕКТРОЗАДВИЖВАНИЯ

Иван Костов, Кирил Кирилов, Жана Цветкова

7. Литература
 1. Banan K., Sharifian M. и Mohammadi J., Induction Motor Efficiency Estimation using Genetic Algorithm, Volume 3 January 2005.
 2. Burjorjee K., A Vectorized Implementation of a Genetic Algorithm, Waltham, Brandeis University.
 3. Chambers L., A Hands Book For Practical Genetic Algorithms, Hall/CRC Press, 2001.
 4. Herrera F., Lozano M. и Sanchez A., A Taxonomy for the Cross-Operator - Granada, Department of Computer Science and Artificial Intelligence University of Granada, 2003.
 5. Melanie M., An Introduction to Genetic Algorithms, A Bradford Book MIT Press, Fifth printing, 1999.
 6. Michalewicz Z., Genetic Algorithms + Data Structures = Evolution Programs, Springer-Verlag, 1996.
 7. Phumiphak T. и Chat-Uthai C., Estimation of Induction Motor Parameters Based on Field Test Coupled with Genetic Algorithm, Mahanokorn University Technology, Bangkok.
 8. Practical Genetic Algorithms, John Wiley & Sons, Inc., 2004.
 9. Rothlauf F., Representations for Genetic and Evolutionary Algorithms Springer-Verlag, 2006.
 10. Sastry R. и Oriol-Puig, A Extended Compact Genetic Algorithm Matlab, University of Illinois at Urbana-Champaign, March, 2007.
 11. Sivanandam S. N и Deepa S., Introduction to Genetic Algorithm Springer-Verlag, 2008.
 12. Whitley D., A Genetic Algorithm Tutorial, Computer Science Department Colorado State University.
 13. Yara N., Genetic Algorithms in Induction Motor Efficiency Determination, Clarkson University, 2004.
- Катедра "Системи за управление"
Технически университет – София, филиал Пловдив
ул. Цанко Достабанов №25
4000 Пловдив
E-mail: ijk@tu-plovdiv.bg, kkiraqkov@gmail.com, janacvetkova9@gmail.com

Резюме. Анализиран е метод за определяне на оптималния по електрически загуби магнитен поток в асинхронни скаларно управляеми електрозадвижвания в относителни единици. Предложено е решение на оптималния магнитетен поток с отчитане на загубите в стоманата на двигателеля. Създаден е модел за намиране на корените на оптималния магнитетен поток. Моделът е приложен за целите на управлението. Ефективността на изследването е потвърдена чрез симулация.

1. Въведение

Електрическите машини консумират голяма част от електроенергията, като най-често използвани са асинхронните двигатели (АД) с накъсъединен ротор, представляващи между 80% и 90% от всички електродвигатели. Този род двигатели са масивни като конструкция, издържат на големи претоварвания и практически не се нуждаят от специална поддръшка. Известно за АД е, че тяхната ефективност (КПД) варира според наполовината им, като най-висока ефективност се постига при пълно наполовине. В действителност обаче, повечето асинхронни двигатели работят при наполовина, доколкото ниско от номиналното и в определени приложения е възможно двигателят да отдели до 70% енергия във вид на загуби. При малки товари, ефективността на двигателя намалява поради дисбаланс между загубите в медта и в стоманата. Следователно, спестяването на енергия може да бъде постигнато чрез правилно дозиране на магнитетния поток в двигателя, което може да бъде реализирано чрез оптимално управление. В тази статия е предложен подход, който се базира на определянето на оптималния магнитетен поток чрез зависимостите между параметрите на асинхронния двигател.

2. Загуби в АД

АД може да се разглежда като електромеханичен преобразувател на енергия. При работа в двигателен режим той консумира електрическа мощност от мрежата и я превръща в механична. Процесът на това преобразуване е съпроводен със загуби. Това води до намаляване на полезната мощност и до загряване на самия двигател. Загубите от своя страна имат различно естество, но като 3) Механични загуби (2.1). В такъв случай КПД на АД може да се определи по (2.2)

$$\Delta P_{tot} = P_n + P_c + P_{nr} + P_m + P_d, \text{ където}$$

P_n, P_{nr} - загуби в статорната и роторната намотки;
 P_c - загуби в стоманата на статорния пакет;

P_m – механични загуби;
 P_d – допълнителни загуби;

$$KPII = \frac{P_n}{P_{in}} = \frac{P_1 - \Delta P_{tot}}{P_1} = 1 - \frac{\Delta P_{tot}}{P_1}$$

Пътният списък на използванието означения и съкращения статията е даден в **Приложение**. При АД ефективността пропорционална на натоварването, т.е. при максимално натоварване КПД на дадения двигател ще е най-голям. Но в реалните работни условия използванието двигатели често работят в режими с по-ниско натоварване от максималното, в такъв случай и загубите ще са по-големи. За да се повиши ефективността на дадения АД споменатите условия са разработени много оптими-зационни методи. Те се делят основно на два типа: 1). При първия тип се цели основен реализацията на управление спрямо намирането на оптималния за АД магнитен поток. Докато при другия тип методи се търси минимална стойност на захранващото напрежение, при което работният режим зададен на АД, да остава непроменен. В тази статия е предложен метод за намиране на оптималния магнитен поток за даден АД базиращ се на аналитичните зависимости, описващи загубите машината.

3. Определяне на оптималния магнитен поток

За да се намали дисбалансът на загубите в медта и тези в стоманата при малки натоварвания, магнитният поток на АД трябва също да е намали. Механичните загуби могат да бъдат пренебрежнати, което е обосновано от факта, че те имат пренебрежимо малка стойност споменатия случай. В предвид това приемане, може да се каже, че тук направена минимизация на пълните загуби само в двигателя.

В такъв случай пълните загуби при номинални условия на работата (3.2) [4].

$$\Delta P_{magn} = 3R_1 I_1^2 + 3R_2 I_2^2 + \Delta P_{magn} \varphi^2 \alpha^k \quad (3.1)$$

$$\Delta P_{magn} = P_{in} - P_{agn} - (R_1 I_{in}^2 + 0.005 P_n) \quad (3.2)$$

В последните две разгледани зависимости връзката между статорния и роторния ток може да се намери приближително чрез зависимостта (3.4) мощността на АД, предавана към ротора предиздушената му междина, е произведението на номинално натоварване и синхронната скорост на машината. След заместване на зависимостта от (3.4) в (3.2) и след това в (3.1), последната придобива вида, показан в (3.5) [4].

$$I_1^2 \approx I_2^2 + I_0^2, \quad (3.3)$$

Където

$$I_2' = \frac{P_{agn} \mu}{E_{in} \varphi} \text{ и } I_0^2 \approx I_{0n}^2 \frac{a(\varphi^2 - \varphi^2)}{b(1 - \varphi^2) + \varphi^2} \quad (3.4)$$

$$P_{agn} = T_n \omega_s$$

$$\Delta P_{tot} = B \frac{a(\varphi^2 - \varphi^2)}{b(1 - \varphi^2) + \varphi^2} + C \frac{\mu^2}{\varphi^2} + D \varphi^2 \alpha^k, \quad (3.5)$$

където

$$B = 3R_1 I_{in}^2, \quad C = \frac{R_1 + R_2 \tilde{P}_{agn}}{3E_{in}^2} \text{ и } D = \Delta P_{magn}$$

Равенство (3.5) показва връзката на пълните електрически загуби на АД при зададени определени стойности на натоварване и честота, като функция само на магнитния поток. Ако на това равенство се намери първата производна спрямо потока и получената зависимост се приравни на нула, се получава уравнението (3.6).

$$\varphi^3 + a_1 \varphi^6 + a_2 \varphi^4 + a_3 \varphi^2 + a_4 = 0, \quad (3.6)$$

където

$$a_1 = \frac{2b}{1-b}, \quad a_2 = \left(\frac{b}{b-1} \right)^2 + \frac{2B(b-a) - C\mu^2(b-1)^2}{D\alpha^k(b-1)},$$

$$a_3 = \frac{2C\mu^2 b}{D\alpha^k(b-1)} \text{ и } a_4 = -\frac{C\mu^2 b}{D\alpha^k(b-1)^2}.$$

След решаването на полинома от (3.6) се получават осем корена. Шест от тях са комплексни, един – реален отрицателен и един – реален положителен корен. Съответно комплексните и реалният отрицателен корен нямат физически смисъл и затова могат да бъдат игнорирани. Останалият реален положителен корен φ_{opt} представлява стойността на оптималния магнитен поток, при която загубите на АД, при зададените стойности на честотата и на натоварването, са минимални. При различните режими на работа на АД, стойността на оптималния поток се изменя, но винаги е в границите: $0 < \varphi_{opt} \leq 1$.

4. Симулационен модел

Разгледаното в Т.3 определяне на стойността на оптимален магнитен поток на даден АД може да се реши аналитично, но интерес чиято помош да се намира стойността на φ_{opt} при различни работни условия на двигателеля. Също така този модел ще дава възможност и стойността на оптималния магнитен поток. Подобен род изследване би предоставило важна информация за поведението на АД при различни работни режими, което може да се използва за целите на управлението. Структурната схема, описваща споменатия модел е представена на фиг. 1. Означенията са следните: "ТС" – генератор на трионовиден сигнал, "ХЗ" – хистерезисна зона, „ПН“ – проверка за нула. Алгоритъмът за работа на схемата е следният:

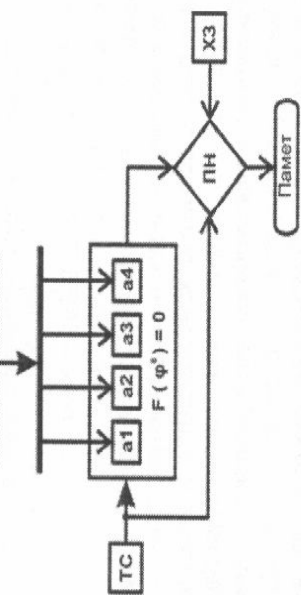
- На базата на дадени номинални данни за АД се изчисляват по формула (3.6) коефициентите на полинома $F(\varphi^8) = 0$ (полиномът на оптималния магнитетен поток от (3.6)) – a_1, a_2, a_3, a_4 , като оставащите 4 коефициента съответно са нули.

2. Стойността на полинома се изчислява за дефинириания „TC“ носещ сигнал.

3. В „ПН“ се проверява дали стойността на полинома е нула т.е. дали текущата стойност на носещия сигнал е корен. Тъ като симулацията е дискретна има опасност да бъде „изпусната“ нула, появилася между два съседни такта. Така цел е дефинирана и „Х3“, при попадане на сигнала стойността му се приема за равна на нула.

4. При откриване на корен, който е комплексен или реален отрицателен, той се игнорира. В противен случай стойността на носещия сигнал се записва. След приключване на симулацията записаните стойности в „TC“ се визуализират.

Параметри на АД



Фиг.1. Структурна схема за определяне на оптимален магнитен поток

5. Експериментални резултати

На базата на структурната схема в Т. 4 е създаден модел за определяне на оптималния магнитен поток за различни честоти на натоварванния в честотно отворено електrozадвижване. Номинални данни за използванния двигател са дадени в табл. 1. Носещият сигнал е честота 1 kHz. На фиг.2 са показани стойността на оптималния магнитен поток при номинални данни на АД - 1, при $f = 15 \text{ Hz}$ и номинален момент - 2; при $T = 10 \text{ Nm}$ и номинална честота - 3.

Параметри на АД

Таблица

Параметър	Стойност	Параметър	Стойност
R_1	1.230 Ω	f_n	50 Hz
X_1	1.500 Ω	P	4
X_m	53.700 Ω	S_n	0.036
R_2'	0.787 Ω	n_s	1500 rpm
X_2'	2.490 Ω	ω_g	157 rad/s
V_n	220 V	n_n	1446 rpm
T_n	36.340 $N.m$	ω_n	151.348 rad/s
P_n	5.500 kW	J	0.017 kg.m^2
I_{1n}	11.500 A	$[a, b]$	[0.0327, 3.112]

2. Стойността на полинома се изчислява за дефинириания

„TC“ носещ сигнал.

3. В „ПН“ се проверява дали стойността на полинома е нула т.е. дали текущата стойност на носещия сигнал е корен. Тъ като симулацията е дискретна има опасност да бъде „изпусната“ нула, появилася между два съседни такта. Така цел е дефинирана и „Х3“, при попадане на сигнала стойността му се приема за равна на нула.

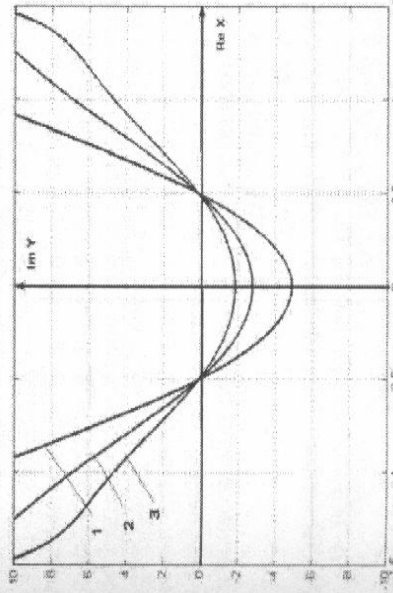
4.

При откриване на корен, който е комплексен или реален отрицателен, той се игнорира. В противен случай стойността на носещия сигнал се записва. След приключване на симулацията записаните стойности в „TC“ се визуализират.

5.

Фиг.2. Стойности на оптималния магнитен поток при: 1 – номинални стойности, $2 - f = 15 \text{ Hz}, 3 - T = 10 \text{ Nm}$

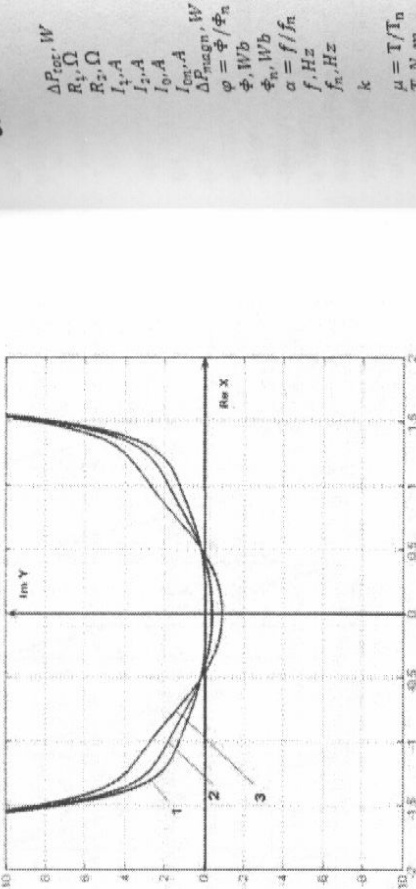
На базата на създадения симулационен модел може да се разгледа графиката на функцията на полинома от (3.6) при различни стойности на честотата и на натоварването на АД. На фиг.3 е показана уточнената зависимост при промяна на честотата, а на фиг.4 – при промяна на натоварването на АД.



Фиг.3. Графика на полинома (3.6) при промяна на честотата
 $1 - f = 20 \text{ Hz}, 2 - f = 30 \text{ Hz}, 3 - T = 40 \text{ Hz}$

8. Приложение

Използвани означения



Фиг.4 . Графика на полинома (3.6) при промяна на наповаренето

6. Заключение

Разгледаният в статията метод предоставя възможността за управление на АД чрез намиране оптимална стойност на магнитния поток. Стойността на Φ_{opt} е намерена изчленено парметрично, използвани само зависимости, описващи загубите в дадения АД. Това от своя страна предпоставка за хардуерна реализация на предложния начин за оптимално управление. Разгледаният в статията симулационен модел може да се използва за изграждане на система за намиране на оптимални магнитни поток чрез цифрова схемотехника или чрез използването на микропроцесорно устройство. В бъдещо развитие на темата следва да се реализира конкретна система за задвижване на базата на оптимален магнитен поток и уточняване на приложението и за намаляване на загубите при реалните АД.

7. Литература

1. Kioskeridis and Margaris N., Loss minimization in scalar controlled induction motor drives with search controllers , IEEE Transaction on Power Electronics, 1996. - Vol. 11.
2. Pires W. and Mello H., Minimization of Losses in Converter-Fed Induction Motors-Optimal Flux Solution , WEG Equipamentos Elétricos S -Motores.
3. Sarah H. Issa R., Modelling, simulation and test of invertor induction motor drive system with improved performance, Assuit university 2005. - Vol. 33.
4. Sarhan H., Al-Issa R. and Jaber Q., Loss-Minimization of Scalar Controlled Induction Motor Drives, Department of Mechatronics Engineering-Al-Balqa' Applied University.
5. Радин В., Брускин Д. и Зорокович А. „Електрическі машини - Асинхронные машины, Москва "Высшая школа", 1988.

ИЗСЛЕДВАНЕ НА РЕВЕРСИВНИ ПОСТОЯННОТОКОВИ ЕЛЕКТРОЗАДВИЖВАНИЯ СЪС СЪВМЕСТНО УПРАВЛЕНИЕ НА ВЕНТИЛИТЕ

Иван Костов, Десислав Белев, Надя Спасова

Резюме. За реализацията на реверсивни постояннотокови електрозадвижвания най-често се използват тиристорни преобразуватели, които работят със съвместно или с разделено управление на групите вентили. В статията са анализирани статични и динамични свойства на реверсивни електрозадвижвания със съвместно управление на групите вентили. Разгледани са два начина за съгласуване на вентилите на управление при отворена и затворена система –